

Control visual de sistemas robóticos remotos

Rafael Kelly
CICESE

Marco A. Artega
UNAM

Antecedentes

- Robot
- Robótica
- Clasificación:
 - Robots manipuladores
 - Robots móviles {
 - Robots terrestres {
 - Robots con ruedas
 - Robots con patas
 - Robots acuáticos {
 - Robots marinos
 - Robots submarinos
 - Robots aéreos

Visión en el guiado de sistemas robóticos

Robots manipuladores

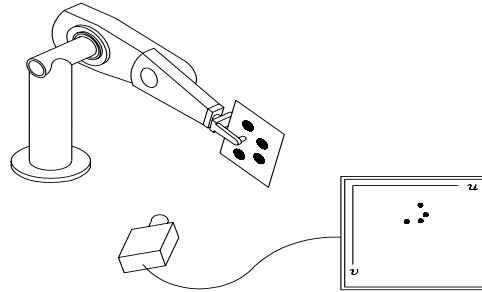


Figure 1: Cámara fija

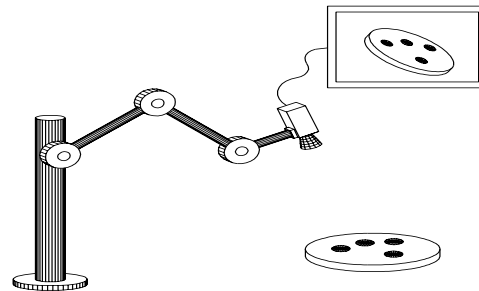


Figure 2: Cámara en mano

Robots móviles

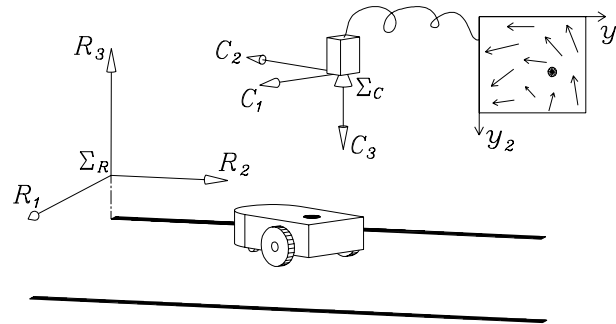


Figure 3: Robot móvil: Cámara fija

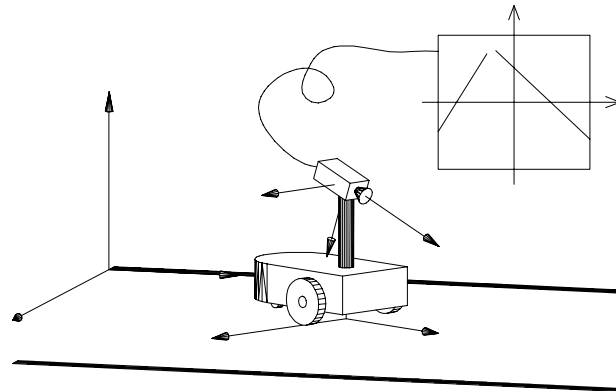


Figure 4: Robot móvil: Cámara a bordo

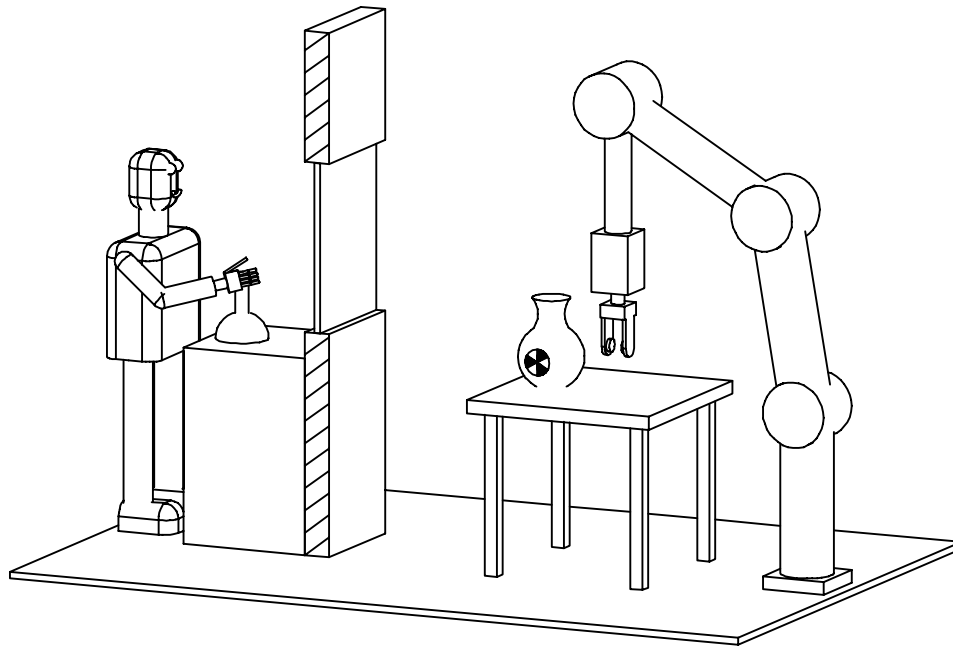


Figure 5: Telemanipulación

Operación remota

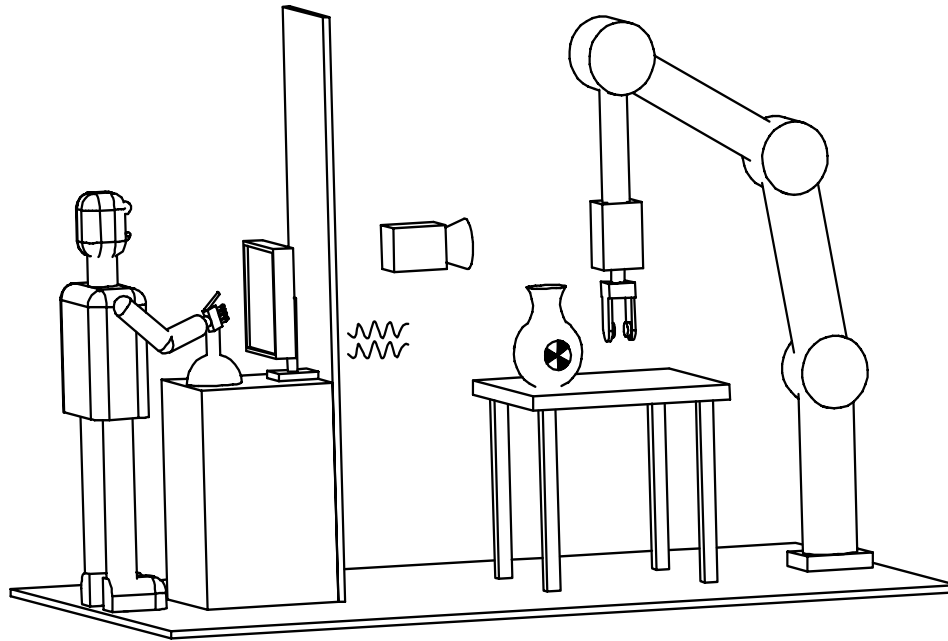


Figure 6: Operación remota

Operación remota: Robot manipulador

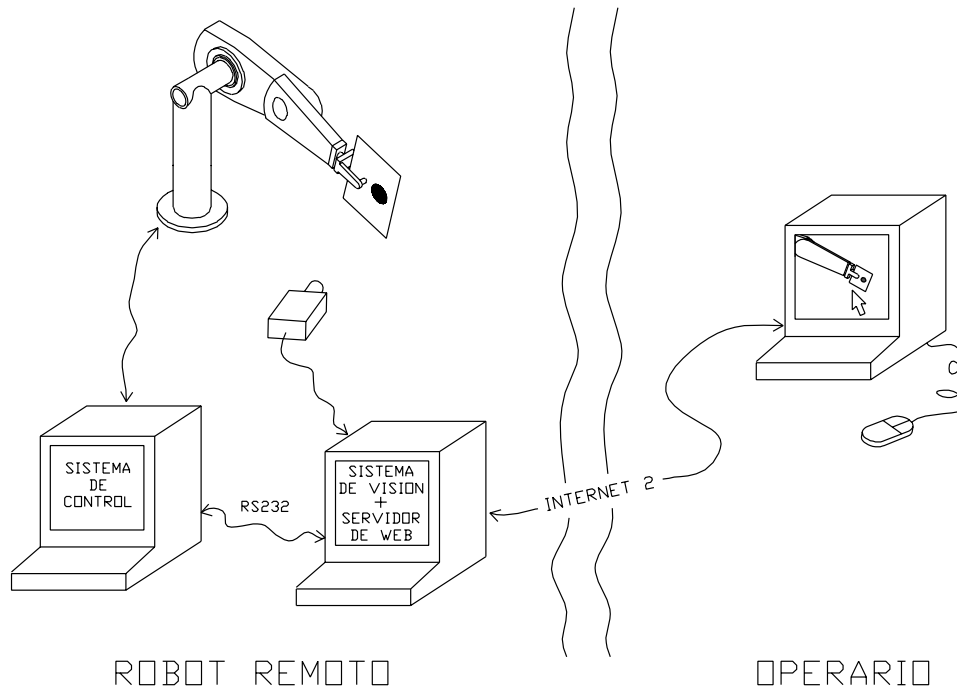


Figure 7: Operación remota: Robot manipulador

Operación remota: Robot móvil

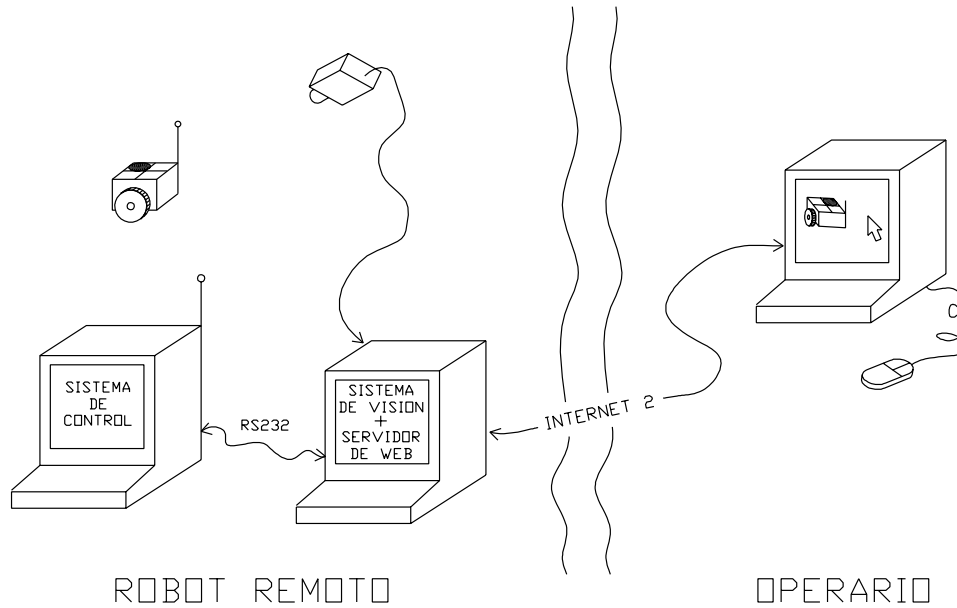
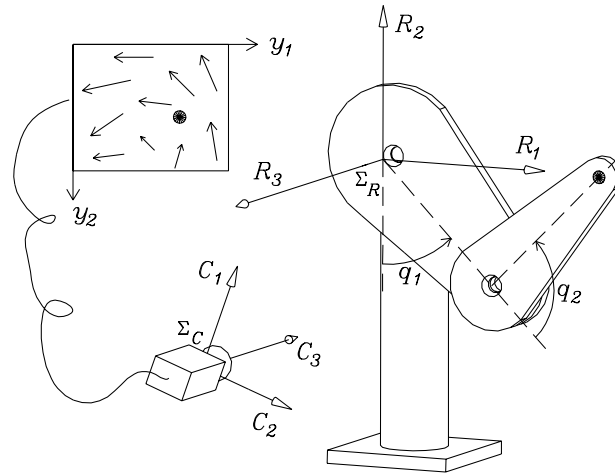


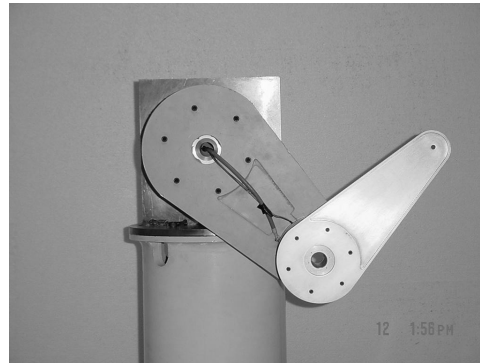
Figure 8: Operación remota: Robot móvil

Análisis: Operación remota del robot manipulador

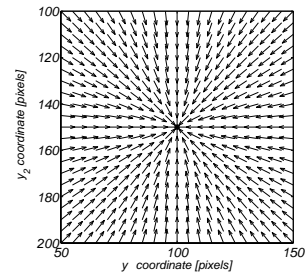


- Modelo dinámico: $M(\mathbf{q})\ddot{\mathbf{q}} + C(\mathbf{q}, \dot{\mathbf{q}})\dot{\mathbf{q}} + \mathbf{g}(\mathbf{q}) = \boldsymbol{\tau}$
- Cinemática directa: $\mathbf{x}_R(\mathbf{q}) : \mathbb{R}^2 \rightarrow \mathbb{R}^2$

$$\mathbf{x}_R(\mathbf{q}) = \begin{bmatrix} 0.26 \sin(q_1) + 0.26 \sin(q_1 + q_2) \\ -0.26 \cos(q_1) - 0.26 \cos(q_1 + q_2) \end{bmatrix}.$$



Campo de velocidad deseado



- Cinemática perceptual:

$$\mathbf{y} = \begin{bmatrix} y_1 \\ y_2 \end{bmatrix} = \frac{\alpha\lambda}{O_{R3}^C - \lambda} R(\phi) \left[\mathbf{x}_R(\mathbf{q}) - \begin{bmatrix} O_{R1}^C \\ O_{R2}^C \end{bmatrix} \right] + \begin{bmatrix} u_0 \\ v_0 \end{bmatrix} \quad ; R(\phi) = \begin{bmatrix} \cos(\phi) & \sin(\phi) \\ \sin(\phi) & -\cos(\phi) \end{bmatrix}$$

donde

- λ es la distancia focal
- α es el factor de conversión de metros a pixeles
- $\mathbf{O}_R^C = [O_{R1}^C \ O_{R2}^C \ O_{R3}^C]^T$ es la posición del origen de la cámara
- $[u_0 \ v_0]^T$ es un sesgo

- Cinemática perceptual diferencial:

$$\dot{\mathbf{y}} = \frac{\alpha\lambda}{O_{R3}^C - \lambda} R(\phi) J_A(\mathbf{q}) \dot{\mathbf{q}} = J(\mathbf{q}) \dot{\mathbf{q}}$$

donde

- $J_A(\mathbf{q}) = \partial \mathbf{x}_R(\mathbf{q}) / \partial \mathbf{q}$ es la matriz jacobiana analítica
- $J(\mathbf{q}) = \frac{\alpha\lambda}{O_{R3}^C - \lambda} R(\phi) J_A(\mathbf{q})$ es el jacobiano perceptual (supuesto de rango completo y acotado)

Sistema de control

Subsistema de velocidad articular

$$\begin{aligned}\boldsymbol{\tau} &= M(\mathbf{q})\dot{\boldsymbol{\omega}}_d + C(\mathbf{q}, \dot{\mathbf{q}})\boldsymbol{\omega}_d + \mathbf{g}(\mathbf{q}) + K_v\tilde{\boldsymbol{\omega}} + K_i\boldsymbol{\xi} \\ \dot{\boldsymbol{\xi}} &= \tilde{\boldsymbol{\omega}}\end{aligned}$$

dende

- K_v and K_i son matrices simétricas definidas positivas
- $\tilde{\boldsymbol{\omega}} = \boldsymbol{\omega}_d - \dot{\mathbf{q}}$ es el vector de error de velocidad articular
- $\boldsymbol{\omega}_d$ es la velocidad articular deseada

Subsistema cinemático

$$\begin{aligned}\dot{\boldsymbol{\rho}} &= \mathbf{e}, \\ \boldsymbol{\omega}_d &= J(\mathbf{q})^{-1}[\mathbf{v}(\mathbf{y}) + K\boldsymbol{\rho}],\end{aligned}$$

donde K es una matriz simétrica y definida positiva.

Sistema en malla cerrada

$$\frac{d}{dt} \begin{bmatrix} \boldsymbol{\rho} \\ \boldsymbol{\xi} \\ \tilde{\boldsymbol{\omega}} \end{bmatrix} = \begin{bmatrix} -K\boldsymbol{\rho} + J(\mathbf{q})\tilde{\boldsymbol{\omega}} \\ \tilde{\boldsymbol{\omega}} \\ -M(\mathbf{q})^{-1} [C(\mathbf{q}, \dot{\mathbf{q}})\tilde{\boldsymbol{\omega}} + K_v\tilde{\boldsymbol{\omega}} + K_i\boldsymbol{\xi}] \end{bmatrix}$$

Función de Lyapunov

$$V(\boldsymbol{\rho}, \boldsymbol{\xi}, \tilde{\boldsymbol{\omega}}) = \frac{\beta}{2} \boldsymbol{\rho}^T \boldsymbol{\rho} + \frac{1}{2} \tilde{\boldsymbol{\omega}}^T M(\mathbf{q}) \tilde{\boldsymbol{\omega}} + \frac{1}{2} \boldsymbol{\xi}^T K_i \boldsymbol{\xi},$$

donde β es una constante satisfaciendo

$$0 < \beta < \frac{2\lambda_m\{K_v\}\lambda_m\{K\}}{k_J^2}, \quad (1)$$

Derivada temporal

$$\begin{aligned} \dot{V}(\boldsymbol{\rho}, \boldsymbol{\xi}, \tilde{\boldsymbol{\omega}}) &= -\beta \boldsymbol{\rho}^T K \boldsymbol{\rho} + \beta \boldsymbol{\rho}^T J(\mathbf{q}) \tilde{\boldsymbol{\omega}} - \tilde{\boldsymbol{\omega}}^T K_v \tilde{\boldsymbol{\omega}}, \\ \dot{V}(\boldsymbol{\rho}, \boldsymbol{\xi}, \tilde{\boldsymbol{\omega}}) &\leq - \begin{bmatrix} \|\boldsymbol{\rho}\| \\ \|\tilde{\boldsymbol{\omega}}\| \end{bmatrix}^T \underbrace{\begin{bmatrix} \beta\lambda_m\{K\} & -\frac{1}{2}\beta k_J \\ -\frac{1}{2}\beta k_J & \lambda_m\{K_v\} \end{bmatrix}}_Q \begin{bmatrix} \|\boldsymbol{\rho}\| \\ \|\tilde{\boldsymbol{\omega}}\| \end{bmatrix}. \end{aligned}$$

Análisis: Operación remota del robot móvil

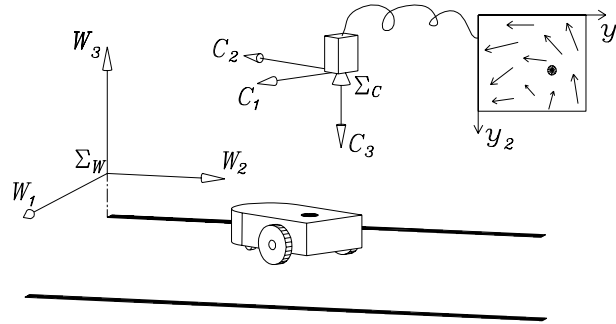


Figure 9: Robot móvil: cámara fija

- Modelo cinemático de postura:

$$\frac{d}{dt} \begin{bmatrix} x_{W1} \\ x_{W2} \\ \theta \end{bmatrix} = \begin{bmatrix} \cos(\theta) & 0 \\ \sin(\theta) & 0 \\ 0 & 1 \end{bmatrix} \begin{bmatrix} u_1 \\ u_2 \end{bmatrix} \quad (2)$$

donde x_{W1} , x_{W2} es la posición del robot y θ su orientación. Las acción de control $\mathbf{u} = [u_1 \ u_2]^T$ corresponden a la velocidad lineal y angular del robot.

- Cinemática perceptual:

$$\begin{aligned}
 \mathbf{y} &= \begin{bmatrix} y_1 \\ y_2 \end{bmatrix}, \\
 &= \underbrace{\frac{\alpha\lambda}{O_{W3}^C - \lambda} R(\phi) \left[\mathbf{x}_W - \begin{bmatrix} O_{W1}^C \\ O_{W2}^C \end{bmatrix} \right]}_{\mathbf{h}(\mathbf{x}_W)} + \begin{bmatrix} u_0 \\ v_0 \end{bmatrix},
 \end{aligned} \tag{3}$$

donde

$$R(\phi) = \begin{bmatrix} \cos(\phi) & \sin(\phi) \\ \sin(\phi) & -\cos(\phi) \end{bmatrix}$$

- Cinemática perceptual diferencial:

$$\begin{aligned}
 \dot{\mathbf{y}} &= \frac{\alpha\lambda}{O_{W3}^C - \lambda} R(\phi) \begin{bmatrix} \dot{x}_{W1} \\ \dot{x}_{W2} \end{bmatrix}, \\
 &= \frac{\alpha\lambda}{O_{W3}^C - \lambda} R(\phi) \begin{bmatrix} \cos(\theta) \\ \sin(\theta) \end{bmatrix} u_1, \\
 &= \frac{\alpha\lambda}{O_{W3}^C - \lambda} \begin{bmatrix} \cos(\theta - \phi) \\ -\sin(\theta - \phi) \end{bmatrix} u_1,
 \end{aligned} \tag{4}$$

Sistema de control

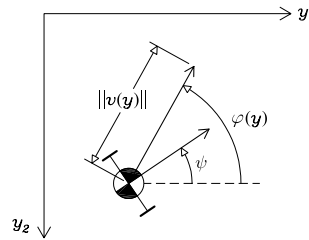


Figure 10: Vista del robot en la pantalla

$$u_1 = \frac{1}{\gamma} \|\mathbf{v}(\mathbf{y})\|, \quad (5)$$

$$u_2 = k \sin(\varphi(\mathbf{y}) - \bar{\psi}) + \|\mathbf{v}(\mathbf{y})\| \frac{\partial \varphi(\mathbf{y})}{\partial \mathbf{y}}^T \begin{bmatrix} \cos(\bar{\psi}) \\ -\sin(\bar{\psi}) \end{bmatrix} \quad (6)$$

donde k es una constante positiva de diseño y γ depende de parámetros de visión.

Sistema en malla cerrada

$$\frac{d}{dt} \begin{bmatrix} \mathbf{y} \\ \psi \end{bmatrix} = \begin{bmatrix} \mathbf{v}(\mathbf{y}) + \begin{bmatrix} \cos(\psi) - \cos(\varphi) \\ -\sin(\psi) + \sin(\varphi) \end{bmatrix} \|\mathbf{v}(\mathbf{y})\| \\ k \sin(\varphi(\mathbf{y}) - \bar{\psi}) + \dot{\varphi} \end{bmatrix}. \quad (7)$$

Principio de invariancia de LaSalle

$$V(\mathbf{y}, \psi) = \frac{1}{2} [\varphi(\mathbf{y}) - \psi]^2.$$

Derivada temporal

$$\dot{V}(\mathbf{y}, \psi) = -k [\varphi(\mathbf{y}) - \psi] \sin(\varphi(\mathbf{y}) - \bar{\psi}).$$

$$\dot{V}(\mathbf{y}, \psi) \leq 0 \quad \forall \begin{bmatrix} \mathbf{y} \\ \psi \end{bmatrix} \in \mathcal{D}.$$